

ДОСЛІДЖЕННЯ ТЕРМОНАПРУЖЕНОГО СТАНУ ПІВПРОСТОРУ З БАГАТОШАРОВИМ ПОКРИТТЯМ ЗА ЦИКЛІЧНОГО КОНВЕКТИВНОГО ТЕПЛООБМІНУ ІЗ ЗОВНІШНІМ СЕРЕДОВИЩЕМ

З використанням отриманого замкненого аналітичного розв'язку задачі термопружності для півпростору з багатошаровим покриттям при циклічній кусково-однорідній зміні температури зовнішнього середовища досліджено вплив умов термоциклічного навантаження на термонапружений стан такої системи.

Ключові слова: теплопровідність, термопружність, півпростір, багатошарове покриття, узагальнені граничні умови, термоциклювання.

Вступ. Термоциклічна обробка (ТЦО) є одним із сучасних та широко використовуваних термічних методів зміцнення, в якому застосовується багаторазова циклічна зміна температури зовнішнього середовища за відсутності витримки при максимальних температурах нагрівання [7]. Формування властивостей і структури однорідних матеріалів, сплавів, багатошарових структур, деталей обладнання з одно- чи багатошаровими покриттями при ТЦО визначається вибраними режимами. Дослідження впливу окремих параметрів ТЦО дає необхідну інформацію для подальшої оптимізації процесу в цілому. Термічні напруження, що виникають в цих елементах конструкцій, залежать від таких параметрів як швидкість нагрівання і охолодження, максимальна і мінімальна температура в періодах циклів, кількість та тривалість циклів, інтенсивність конвективного теплообміну з робочим середовищем [9].


Аналітичному розв'язанню задач про термонапружений стан однорідних тіл та багатошарових структур за термоциклічного навантаження присвячено роботи [1, 2, 8, 16, 18–20, 22, 25–28, 30, 31]. Результати числового дослідження термонапруженого стану таких об'єктів при термоциклюванні наведено в роботах [4–6, 17, 21, 23, 24, 29, 34–36]. Слід зауважити, що не всі підходи, які використано у вищезгаданих працях, є цілком придатними для дослідження термонапруженого стану тіл з тонкими багатошаровими покриттями.

Однією з ефективних методик, що дозволяє суттєво спростити отримання розв'язку нестационарних задач термопружності для тіл з такими багатошаровими покриттями відомими аналітичними методами, є застосування підходу з використанням узагальнених граничних умов [12, 13, 32, 33].

Так, за сталої в часі температури зовнішнього середовища в [11] розв'язано задачу термопружності для півпростору з багатошаровим покриттям за конвективного, а в [15] – за променево-конвективного теплообміну з робочим середовищем.

За циклічного конвективного теплообміну, коли температура зовнішнього середовища є кусково-однорідною функцією часу, в [14] отримано аналітичний розв'язок нестационарної задачі теплопровідності для півпростору з багатошаровим покриттям. На його основі у пропонованій роботі розв'язано відповідну задачу термопружності і проведено розрахунок та аналіз впливу зміни параметрів конвективного термоциклічного навантаження на температурні напруження, що виникають у системі півпростір – багатошарове покриття.

1. Формулювання та розв'язок задачі теплопровідності. Теоретична оцінка рівня термонапруженого стану півпростору з багатошаровим покрит-

 shevchuk@iapmm.lviv.ua

тям на першому етапі передбачає визначення розподілу температури в такій системі.

З цією метою розглянемо процес конвективного багатоциклового теплообміну півпростору із зовнішнім середовищем через n -шарове тонке покриття товщини $\delta = \sum_{i=1}^n \delta_i$, де δ_i – товщина i -го шару покриття. Декартові

координати (x, y, z) вибрано таким чином, що площина $z = 0$ розміщена на контактній поверхні покриття з основою, а додатний відлік осі z скеровано вглиб системи. Процес термоциклювання розділено на K циклів, кожен з яких складається з двох періодів (нагрівання та охолодження) [3]. Тривалість k -го циклу становить $\tau_k - \tau_{k-1}$, а $\tau_{k-1 \leftrightarrow k}$ ($\tau_{k-1} < \tau_{k-1 \leftrightarrow k} < \tau_k$) – момент миттєвого перемикання періодів у межах одного циклу [3]. У момент часу $\tau_0 = 0$ початковий розподіл температури вздовж координати z вважаємо відомим і постійним.

Одновимірною нестационарною крайовою задачею теплопровідності формується таким чином:

– рівняння теплопровідності

$$\frac{\partial t_j(z, \tau)}{\partial \tau} = a_j \frac{\partial^2 t_j(z, \tau)}{\partial z^2}, \quad j \in \{\mathbf{I}\} \cup \{1, \dots, n\}, \quad (1)$$

– початкова умова

$$t_j(z, 0) = t_0 = \text{const}, \quad (2)$$

– гранична умова конвективного теплообміну між покриттям і середовищем

$$\lambda_n \frac{\partial t_n(z, \tau)}{\partial z} = \mu(t_n(z, \tau) - t_{\mathbf{II}}(\tau)) \quad \text{при} \quad z = z_n = -\delta, \quad (3)$$

– умови ідеального теплового контакту на поверхнях поділу шарів покриття та покриття з основою

$$t_i(z, \tau) = t_{i-1}(z, \tau), \quad \lambda_i \frac{\partial t_i(z, \tau)}{\partial z} = \lambda_{i-1} \frac{\partial t_{i-1}(z, \tau)}{\partial z}$$

при $z = z_{i-1} = -\sum_{m=1}^{i-1} \delta_m, \quad i \in \{2, \dots, n\},$

$$t_1(z, \tau) = t_{\mathbf{I}}(z, \tau), \quad \lambda_1 \frac{\partial t_1(z, \tau)}{\partial z} = \lambda_{\mathbf{I}} \frac{\partial t_{\mathbf{I}}(z, \tau)}{\partial z} \quad \text{при} \quad z = z_0 = 0, \quad (4)$$

– умова на безмежності

$$t_{\mathbf{I}}(z, \tau) \rightarrow t_0 \quad \text{при} \quad z \rightarrow \infty. \quad (5)$$

У формулах (1)–(5) уведено такі позначення: t , $a = \lambda / \omega$, λ , ω , τ – температура, температуропровідність, теплопровідність, теплоємність, час; μ – коефіцієнт теплообміну між поверхнею покриття і зовнішнім середовищем. Індексом i , \mathbf{I} та \mathbf{II} позначено величини, що стосуються відповідно i -го шару покриття, півпростору та зовнішнього середовища.

У граничній умові (3) температура середовища $t_{\mathbf{II}}(\tau)$ задається кусково-однорідною функцією часу:

$$t_{\mathbf{II}}(\tau) = \sum_{k=1}^K [t_{\mathbf{II}}^{(k,1)} S(\tau - \tau_{k-1}) + (t_{\mathbf{II}}^{(k,2)} - t_{\mathbf{II}}^{(k,1)}) S(\tau - \tau_{k-1 \leftrightarrow k})] \times \\ \times [S(\tau - \tau_{k-1}) - S(\tau - \tau_k)], \quad (6)$$

де $t_{\mathbf{II}}^{(k,1)}$, $t_{\mathbf{II}}^{(k,2)}$ – температури зовнішнього середовища в першому і другому періодах k -го циклу, $S(\zeta) = \begin{cases} 1, & \zeta \geq 0, \\ 0, & \zeta < 0, \end{cases}$ – одинична функція Гевісайда.

Для розв'язування задачі теплопровідності (1)–(5) використано підхід, який ґрунтується на моделюванні впливу покриття на теплоперенесення у системі узагальненою граничною умовою [13, 32, 33], яка у розглядуваному випадку має вигляд [14]

$$\lambda_{\mathbf{I}} \left(1 + \frac{\mu}{H} \right) \frac{\partial t_{\mathbf{I}}(z, \tau)}{\partial z} + \mu(t_{\mathbf{II}}(\tau) - t_{\mathbf{I}}(z, \tau)) = \Omega \frac{\partial t_{\mathbf{I}}(z, \tau)}{\partial \tau}, \quad t_{\mathbf{I}}(z, 0) = t_0, \\ \text{при} \quad z = 0, \quad (7)$$

де $\Omega = \sum_{i=1}^n \omega_i \delta_i$, $\frac{1}{H} = \sum_{i=1}^n \frac{\delta_i}{\lambda_i}$ – зведені теплосмність і термоопір покриття.

Температура в шарах покриття визначається за формулами відновлення [10, 13, 32, 33].

Аналітичний розв'язок задачі теплопровідності для півпростору з багатшаровим покриттям має вигляд [14]:

1°. Для $\Omega \neq 0$ при $1 + \xi \text{Bi} - 2\sqrt{\eta \text{Bi}} \neq 0$

$$\theta_{\mathbf{I}}(\bar{z}, \text{Fo}) = 1 - Z_0^{(1)}(\bar{z}, \text{Fo}) + \sum_{k=1}^K \sum_{\ell=1}^2 \theta_{\mathbf{II}}^{(k, \ell)} (-1)^{\ell+1} (Z_{k+\ell-2}^{(1)}(\bar{z}, \text{Fo}) - \\ - Z_{k-1 \leftrightarrow k}^{(1)}(\bar{z}, \text{Fo})), \quad 0 \leq \bar{z} < \infty, \quad (8)$$

$$\theta_i(\bar{z}, \text{Fo}) = 1 - \chi_0^{(1, i)}(\bar{z}, \text{Fo}) + \sum_{k=1}^K \sum_{\ell=1}^2 \theta_{\mathbf{II}}^{(k, \ell)} (-1)^{\ell+1} (\chi_{k+\ell-2}^{(1, i)}(\bar{z}, \text{Fo}) - \\ - \chi_{k-1 \leftrightarrow k}^{(1, i)}(\bar{z}, \text{Fo})), \quad \bar{z}_i \leq \bar{z} \leq \bar{z}_{i-1}, \quad i \in \{1, \dots, n\}, \quad (9)$$

де

$$Z_p^{(1)}(\bar{z}, \text{Fo}) = \left\{ \text{erfc}(\varphi_p) - \frac{1}{2\Delta} [(1 + \Delta)F_1(\bar{z}, \text{Fo} - \text{Fo}_p) - \\ - (1 - \Delta)F_2(\bar{z}, \text{Fo} - \text{Fo}_p)] \right\} S(\text{Fo} - \text{Fo}_p),$$

$$\chi_p^{(1, i)}(\bar{z}, \text{Fo}) = Z_p^{(1)}(0, \text{Fo}) + \frac{r_i(\bar{z})}{2\Delta} [(1 - \Delta)q_2 F_2(0, \text{Fo} - \text{Fo}_p) - \\ - (1 + \Delta)q_1 F_1(0, \text{Fo} - \text{Fo}_p)] S(\text{Fo} - \text{Fo}_p),$$

$$p \in \{0, 0 \leftrightarrow 1, 1, 1 \leftrightarrow 2, 2, \dots, K-1, K-1 \leftrightarrow K, K\}.$$

2°. Для $\Omega \neq 0$ при $1 + \xi \text{Bi} - 2\sqrt{\eta \text{Bi}} = 0$

$$\theta_{\mathbf{I}}(\bar{z}, \text{Fo}) = 1 - Z_0^{(2)}(\bar{z}, \text{Fo}) + \sum_{k=1}^K \sum_{\ell=1}^2 \theta_{\mathbf{II}}^{(k, \ell)} (-1)^{\ell+1} (Z_{k+\ell-2}^{(2)}(\bar{z}, \text{Fo}) - \\ - Z_{k-1 \leftrightarrow k}^{(2)}(\bar{z}, \text{Fo})), \quad 0 \leq \bar{z} < \infty, \quad (10)$$

$$\theta_i(\bar{z}, \text{Fo}) = 1 - \chi_0^{(2, i)}(\bar{z}, \text{Fo}) + \sum_{k=1}^K \sum_{\ell=1}^2 \theta_{\mathbf{II}}^{(k, \ell)} (-1)^{\ell+1} (\chi_{k+\ell-2}^{(2, i)}(0, \text{Fo}) - \\ - \chi_{k-1 \leftrightarrow k}^{(2, i)}(0, \text{Fo})), \quad \bar{z}_i \leq \bar{z} \leq \bar{z}_{i-1}, \quad i \in \{1, \dots, n\}, \quad (11)$$

де

$$Z_p^{(2)}(\bar{z}, \text{Fo}) = \left[\operatorname{erfc}(\varphi_p) - 2\alpha \sqrt{\frac{\text{Fo} - \text{Fo}_p}{\pi}} \exp(-\varphi_p^2) + \right. \\ \left. + (\alpha \bar{z} + 2\alpha^2(\text{Fo} - \text{Fo}_p) - 1) F_3(\bar{z}, \text{Fo} - \text{Fo}_p) \right] S(\text{Fo} - \text{Fo}_p),$$

$$\chi_p^{(2,i)}(\bar{z}, \text{Fo}) = Z_p^{(2)}(0, \text{Fo}) + 2\alpha^2 r_i(\bar{z}) \left[\alpha(\text{Fo} - \text{Fo}_p) F_3(0, \text{Fo} - \text{Fo}_p) - \right. \\ \left. - \sqrt{\frac{\text{Fo} - \text{Fo}_p}{\pi}} \right] S(\text{Fo} - \text{Fo}_p).$$

3°. Для $\Omega = 0$

$$\theta_{\mathbf{I}}(\bar{z}, \text{Fo}) = 1 - Z_0^{(3)}(\bar{z}, \text{Fo}) + \sum_{k=1}^K \sum_{\ell=1}^2 \theta_{\mathbf{II}}^{(k,\ell)} (-1)^{\ell+1} (Z_{k+\ell-2}^{(3)}(\bar{z}, \text{Fo}) - \\ - Z_{k-1 \leftrightarrow k}^{(3)}(\bar{z}, \text{Fo})), \quad 0 \leq \bar{z} < \infty, \quad (12)$$

$$\theta_i(\bar{z}, \text{Fo}) = 1 - \chi_0^{(3,i)}(\bar{z}, \text{Fo}) + \sum_{k=1}^K \sum_{\ell=1}^2 \theta_{\mathbf{II}}^{(k,\ell)} (-1)^{\ell+1} (\chi_{k+\ell-2}^{(3,i)}(0, \text{Fo}) - \\ - \chi_{k-1 \leftrightarrow k}^{(3,i)}(0, \text{Fo})), \quad \bar{z}_i \leq \bar{z} \leq \bar{z}_{i-1}, \quad i \in \{1, \dots, n\} \quad (13)$$

де

$$Z_p^{(3)}(\bar{z}, \text{Fo}) = [\operatorname{erfc}(\varphi_p) - F_4(\bar{z}, \text{Fo} - \text{Fo}_p)] S(\text{Fo} - \text{Fo}_p),$$

$$\chi_p^{(3,i)}(\bar{z}, \text{Fo}) = [1 - (1 + \text{Bi}^* r_i(\bar{z})) F_4(0, \text{Fo} - \text{Fo}_p)] S(\text{Fo} - \text{Fo}_p).$$

У формулах (8)–(13) позначено

$$F_m(\bar{z}, \text{Fo}) = \exp(q_m \bar{z} + q_m^2 \text{Fo}) \operatorname{erfc}(\varphi + q_m \sqrt{\text{Fo}}), \quad m \in \{1, 2, 3, 4\},$$

$$\theta_{\mathbf{I}} = \frac{t_{\mathbf{I}}}{t_0}, \quad \theta_{\mathbf{II}}^{(k,1)} = \frac{t_{\mathbf{II}}^{(k,1)}}{t_0}, \quad \theta_{\mathbf{II}}^{(k,2)} = \frac{t_{\mathbf{II}}^{(k,2)}}{t_0}, \quad \theta_i = \frac{t_i}{t_0}, \quad i \in \{1, \dots, n\}, \quad \bar{z} = \frac{z}{z_*}, \quad \text{Fo} = \frac{a_{\mathbf{I}} \tau}{z_*^2},$$

$$\text{Fo}_p = \frac{a_{\mathbf{I}} \tau_p}{z_*^2}, \quad \varphi = \frac{\bar{z}}{2\sqrt{\text{Fo}}}, \quad \varphi_p = \frac{\bar{z}}{2\sqrt{\text{Fo} - \text{Fo}_p}}, \quad r_i(\bar{z}) = \lambda_{\mathbf{I}} \left(- \sum_{m=1}^{i-1} \frac{\delta_m}{z_* \lambda_m} + \frac{\bar{z} - \bar{z}_{i-1}}{\lambda_i} \right),$$

$$i \in \{1, \dots, n\}, \quad \bar{z}_j = \frac{z_j}{z_*}, \quad j \in \{0, 1, \dots, n\},$$

$$q_1 = (1 - \Delta)\alpha, \quad q_2 = (1 + \Delta)\alpha, \quad q_3 = \alpha, \quad q_4 = \text{Bi}^* = \frac{\text{Bi}}{1 + \xi \text{Bi}}, \quad \Delta = \sqrt{\left| 1 - \frac{4\eta \text{Bi}}{(1 + \xi \text{Bi})^2} \right|},$$

$$\alpha = \frac{1 + \xi \text{Bi}}{2\eta}, \quad \text{Bi} = \frac{\mu z_*}{\lambda_{\mathbf{I}}} - \text{критерій Біо}, \quad \xi = \frac{H^{-1}}{z_* / \lambda_{\mathbf{I}}} - \text{відносний ефективний}$$

термоопір покриття, $\eta = \frac{\Omega}{\omega_{\mathbf{I}} z_*}$ – відносна ефективна теплоємність покриття,

z_* – масштабний параметр.

2. Розв'язок задачі термопружності. Дослідимо термонапружений стан системи, викликаний конвективним термоциклічним впливом зовнішнього середовища.

За відсутності зовнішнього навантаження на поверхні покриття нерівномірний розподіл температури в системі зумовлює в ній виникнення температурних напружень, які визначаються за формулами [11, 15]

$$\sigma_{xx}^{\mathbf{I}} = \sigma_{yy}^{\mathbf{I}} = \sigma^{\mathbf{I}}(z, \tau) = -\frac{E_{\mathbf{I}}}{1 - \nu_{\mathbf{I}}} \beta_{\mathbf{I}} [t_{\mathbf{I}}(z, \tau) - t_0], \quad 0 \leq z < \infty,$$

$$\sigma_{xx}^i = \sigma_{yy}^i = \sigma^i(z, \tau) = -\frac{E_i}{1 - \nu_i} \beta_i [t_i(z, \tau) - t_0],$$

$$z_i \leq z \leq z_{i-1}, \quad i \in \{1, \dots, n\}, \quad (14)$$

де E_j – модулі Юнга; β_j – коефіцієнти лінійного температурного розширення; ν_j – коефіцієнти Пуассона.

Увівши безрозмірну температуру та безрозмірні напруження

$$\bar{\theta}_j(\bar{z}, \text{Fo}) = \frac{t_j(z, \tau) - t_0}{t_{\mathbf{II}}^{(1,1)} - t_0}, \quad \tilde{\sigma}^j(\bar{z}, \text{Fo}) = \sigma^j(z, \tau) / \frac{E_{\mathbf{I}} \beta_{\mathbf{I}} (t_{\mathbf{II}}^{(1,1)} - t_0)}{1 - \nu_{\mathbf{I}}},$$

$$j \in \{\mathbf{I}\} \cup \{1, \dots, n\}, \quad (15)$$

остаточно отримаємо співвідношення для знаходження теплових напружень у системі

$$\tilde{\sigma}^j(\bar{z}, \text{Fo}) = -\left(\frac{E_j \beta_j}{1 - \nu_j} / \frac{E_{\mathbf{I}} \beta_{\mathbf{I}}}{1 - \nu_{\mathbf{I}}} \right) \bar{\theta}_j(\bar{z}, \text{Fo}). \quad (16)$$

3. Числові результати та їх аналіз. Дослідження термонапруженого стану системи півпростір – багат шарове покриття за термоциклічного навантаження проводили за таких значень вхідних параметрів: температура нагрівання $t_{\mathbf{II}}^{(k,1)} = 1073 \text{ K}$, температура охолодження $t_{\mathbf{II}}^{(k,2)} = 293 \text{ K}$, $k \in \{1, 2, \dots, K\}$; початкова температура системи $t_0 = 293 \text{ K}$; для рис. 1, 2, 5 – при $\xi = 0.2$, $\eta = 0.2$; для рис. 2 – рис. 4 значення моменту перемикавання періодів $\text{Fo}_{0 \leftrightarrow 1} = 1.5$; для рис. 1 – $\text{Bi} = 4$, для рис. 3, рис. 5 – $\text{Bi} = 1$.

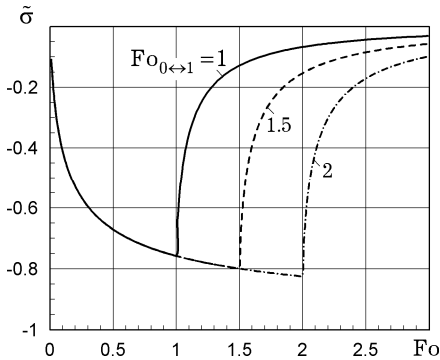


Рис. 1. Вплив зміни моменту перемикавання на безрозмірні напруження $\tilde{\sigma} = \tilde{\sigma}^{\mathbf{I}}(0, \text{Fo})$

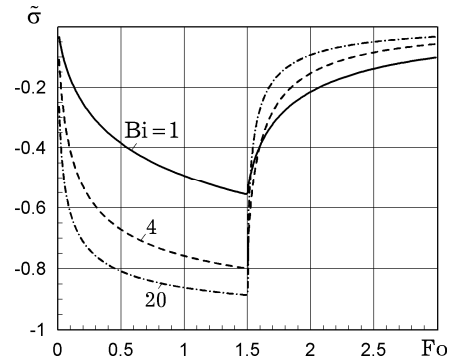


Рис. 2. Вплив інтенсивності конвективного теплообміну на безрозмірні напруження $\tilde{\sigma} = \tilde{\sigma}^{\mathbf{I}}(0, \text{Fo})$.

На рис. 1 показано зміну з часом безрозмірних стискальних напружень $\tilde{\sigma}^{\mathbf{I}}(0, \text{Fo})$ у півпросторі на поверхні контакту з покриттям для значень моментів перемикавання періодів $\text{Fo}_{0 \leftrightarrow 1} = 1, 1.5, 2$ у межах одного циклу тривалістю $\text{Fo}_1 = 3$. Бачимо, що протягом першого періоду при збільшенні $\text{Fo}_{0 \leftrightarrow 1}$ напруження за абсолютною величиною збільшуються. Зростання моменту перемикавання спричиняє певну різницю в значеннях напружень у момент завершення циклу. Зміною моментів перемикавання можна досягнути їх необхідного рівня.

Рис. 2 ілюструє поведінку з часом напружень $\tilde{\sigma}^I(0, Fo)$ в основі на поверхні її контакту з покриттям для різних значень критерію Bi . Протягом періоду нагрівання збільшення величини Bi викликає зростання напружень за абсолютною величиною на поверхні півпростору, а протягом періоду охолодження – їх зменшення. Потрібний рівень таких напружень може бути теоретично прогнозований шляхом підбору рівня інтенсивності термообробки.

На рис. 3 наведено зміну з часом безрозмірних напружень $\tilde{\sigma}^I(0, Fo)$ на поверхні півпростору за відсутності покриття ($\xi = 0, \eta = 0$) та у півпросторі на поверхні поділу з покриттям залежно від ефективних характеристик останнього. У періоді нагрівання такі напруження досягають найбільшого значення за абсолютною величиною на поверхні основи без покриття. Наявність покриття спричиняє зменшення напружень у півпросторі на поверхні контакту з покриттям. У момент завершення циклу $Fo_1 = 3$ безрозмірні стискальні напруження $\tilde{\sigma}^I(0, Fo)$ стають майже однаковими.

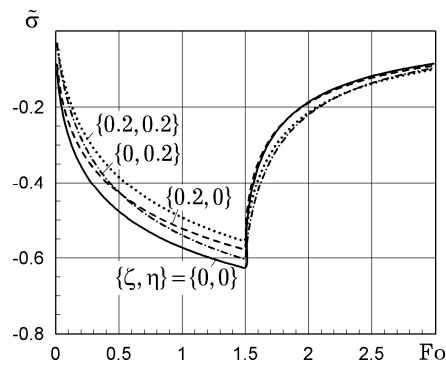


Рис. 3. Залежність напружень $\tilde{\sigma} = \tilde{\sigma}^I(0, Fo)$ від часу Fo для різних значень ефективних характеристик покриття ξ та η .

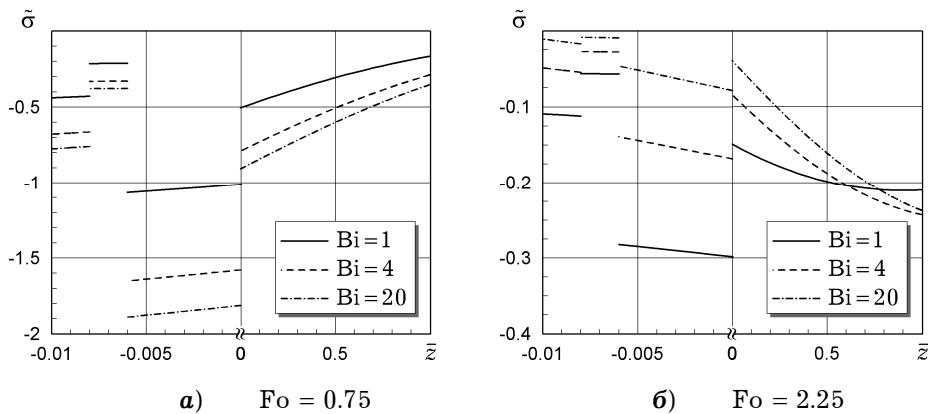


Рис. 4. Розподіл напружень $\tilde{\sigma} = \tilde{\sigma}^j(\bar{z}, Fo)$ у системі основа – тришарове покриття для фіксованих моментів часу Fo .

На рис. 4 показано розподіл напружень за просторовою координатою \bar{z} в системі півпростір – тришарове покриття для моментів часу $Fo = 0.75$ протягом періоду нагрівання та $Fo = 2.25$ – протягом періоду охолодження для різних значень Bi за таких співвідношень геометричних та термомеханічних параметрів шарів покриття:

$$\delta_1 : \delta_2 : \delta_3 = 3 : 1 : 1, \quad \lambda_1 : \lambda_2 : \lambda_3 = 3 : 10 : 2,$$

$$\omega_1 : \omega_2 : \omega_3 = 3 : 6 : 1, \quad \frac{E_1\beta_1}{1-\nu_1} : \frac{E_2\beta_2}{1-\nu_2} : \frac{E_3\beta_3}{1-\nu_3} = 5 : 1 : 2,$$

при $\lambda_{\mathbf{I}}/\lambda_1 = 10$, $\omega_{\mathbf{I}}/\omega_1 = 1$, $\frac{E_{\mathbf{I}}\beta_{\mathbf{I}}}{1-\nu_{\mathbf{I}}} : \frac{E_1\beta_1}{1-\nu_1} = 0.5$, $\frac{\delta}{z_*} = 0.01$. В обох періодах циклу напруження у покритті мають розривний характер, зростають за абсолютним значенням протягом періоду нагрівання і спадають протягом періоду охолодження при збільшенні Bi . Величину стрибка на поверхнях контакту шарів покриття визначає співвідношення $\frac{E_i\beta_i}{1-\nu_i} : \frac{E_{i-1}\beta_{i-1}}{1-\nu_{i-1}}$, $i \in \{2, \dots, n\}$, а на поверхні поділу покриття і півпростору – $\frac{E_{\mathbf{I}}\beta_{\mathbf{I}}}{1-\nu_{\mathbf{I}}} : \frac{E_1\beta_1}{1-\nu_1}$.

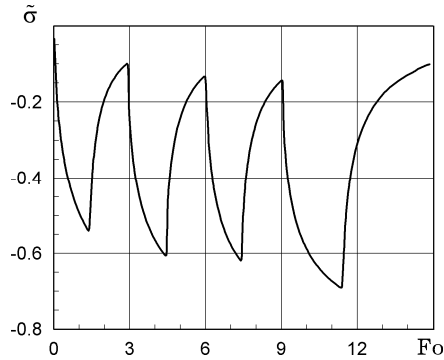


Рис. 5. Циклічна поведінка напружень $\tilde{\sigma} = \tilde{\sigma}^{\mathbf{I}}(0, Fo)$ у півпросторі на поверхні поділу з покриттям.

Рис. 5 ілюструє циклічну зміну з часом напружень в основі на поверхні поділу з покриттям за чотирициклової ($K = 4$) двоперіодичної термообробки системи для таких тривалостей циклів та моментів перемикавання періодів: $Fo_0 = 0$, $Fo_{0 \leftrightarrow 1} = 1.4$, $Fo_1 = 3$; $Fo_{1 \leftrightarrow 2} = 4.4$, $Fo_2 = 6$, $Fo_{2 \leftrightarrow 3} = 7.4$, $Fo_3 = 9$, $Fo_{3 \leftrightarrow 4} = 11.4$, $Fo_4 = 15$. Отже, зміною кількості циклів та їх тривалості, моментів перемикавання періодів у кожному з циклів, а також інтенсивності конвективного теплообміну можна досягнути необхідного рівня напружень на поверхні контакту півпростору з покриттям.

Висновки. У статті з використанням аналітичного розв'язку задачі теплопровідності отримано співвідношення для дослідження і розрахунку термонапруженого стану системи півпростір – багатошарове покриття при кусково-сталій зміні температури середовища. Проаналізовано вплив параметрів термоциклічного навантаження (зміни тривалості циклу, моментів перемикавання періодів у межах одного циклу, інтенсивності конвективного теплообміну із зовнішнім середовищем), співвідношення теплофізичних і фізико-механічних характеристик покриття та основи на поведінку стискальних напружень на поверхні поділу півпростору з покриттям. Досліджено розподіл таких напружень у півпросторі з тришаровим покриттям у деяких моментах часу. Також проілюстровано характер циклічної зміни з часом напружень на поверхні контакту півпростору з покриттям. Отже, зміна умов термоциклювання дозволяє досягати необхідного рівня термонапружень у системі, що є основою теоретичного підбору раціональних режимів термоциклічної обробки виробів з багатошаровими покриттями.

1. Будиновский С. А., Каблов Е. Н., Мубояджян С. А. Применение аналитической модели определения упругих напряжений в многослойной системе при решении задач по созданию высокотемпературных жаростойких покрытий для рабочих лопаток авиационных турбин // Вестн. МГТУ им. Н. Э. Баумана. Сер. «Машино-

- строение». – 2011. – Спец. выпуск «Перспективные конструкционные материалы и технологии». – С. 26–37.
2. Карышев А. К., Супельняк М. И. Термоциклические напряжения в цилиндре, вызванные нестационарными периодическими условиями теплообмена с внешней средой // Вестн. МГТУ им. Н. Э. Баумана. Сер. «Машиностроение». – 2012. – № 2 (87). – С. 47–58.
 3. Кирсанов Ю. А. Циклические тепловые процессы и теория теплопроводности в регенеративных воздухонагревателях. – Москва: Физматлит, 2007. – 240 с.
 4. Кобельский С. В., Курият Р. И., Кравченко В. И., Квитка А. Л. Методика и исследование пространственного термонапряженного состояния моделей лопаток турбин с покрытиями при термоциклическом нагружении // Проблемы прочности. – 1999. – № 6. – С. 56–64.
 Те саме: Kobel'skii S. V., Kuriat R. I., Kravchenko V. I., Kvitka A. L. Procedure and analysis of three dimensional thermal stressed states of turbine blades with coatings subjected to thermal cycling // Strength Mater. – 1999. – **31**, No. 6. – P. 564–570. – <https://doi.org/10.1007/BF02510892>.
 5. Кравчук Л. В., Курият Р. И., Буйских К. П., Задворный Е. А., Киселевская С. Г. Исследование кинетики повреждения жаропрочных сплавов при термоциклическом нагружении в газовом потоке // Проблемы прочности. – 2006. – № 4. – С. 79–86.
 Те саме: Kravchuk L. V., Kuriat R. I., Buiskikh K. P., Zadvornyi E. A., Kiselevskaya S. G. Investigation of the kinetics of damage to refractory alloys under cyclic thermal loading in a gas flow // Strength Mater. – 2006. – **38**, No. 4. – P. 386–391. – <https://doi.org/10.1007/s11223-006-0054-1>.
 6. Лебедев В. А., Ермолаев Г. В., Лой С. А., Матвиенко М. В. Напряженное состояние напыленного покрытия при испытаниях на термостойкость // Упрочняющие технологии и покрытия. – 2014. – № 11. – С. 8–12.
 7. Тихонов А. С., Белов В. В., Леушин И. Г., Еременко В. И., Забелин С. Ф. Термоциклическая обработка сталей, сплавов и композиционных материалов. – Москва: Наука, 1984. – 186 с.
 8. Третьяченко Г. Н., Карпинос Б. С. Прочность и долговечность материалов при циклических тепловых воздействиях. – Киев: Наук. думка, 1990. – 256 с.
 9. Федюкин В. К., Смагоринский М. Е. Термоциклическая обработка металлов и деталей машин. – Ленинград: Машиностроение, 1989. – 256 с.
 10. Шевчук В. А. Аналитическое решение нестационарной задачи теплопроводности для полупространства с многослойным покрытием // Инж.-физ. журн. – 2013. – **86**, № 2. – С. 423–431.
 Те саме: Shevchuk V. A. Analytical solution of nonstationary heat conduction problem for a half-space with a multilayer coating // J. Eng. Phys. Thermophys. – 2013. – **86**, No. 2. – P. 450–459. – <https://doi.org/10.1007/s10891-013-0854-7>.
 11. Шевчук В. А. Задача термопружності для півпростору з багат шаровим покриттям // Прикл. проблеми механіки і математики. – 2013. – Вип. 11. – С. 157–163.
 12. Шевчук В. А. Методологія дослідження термонапруженого стану тіл із тонкими багат шаровими покриттями // Мат. методи та фіз.-мех. поля. – 2021. – **64**, № 3. – С. 41–54.
 13. Шевчук В. А. Узагальнені граничні умови радіаційно-конвективного теплообміну тіл зі середовищем через багат шарові неплоскі покриття // Мат. методи та фіз.-мех. поля. – 2019. – **62**, № 2. – С. 82–97.
 Те саме: Shevchuk V. A. Generalized boundary conditions of radiant-convection heat exchange of bodies with ambient medium through multilayer nonplanar coatings // J. Math. Sci. – 2022. – **261**, No. 1. – P. 95–114. – <https://doi.org/10.1007/s10958-022-05741-y>.
 14. Шевчук В. А., Гаврисъ А. П. Нестационарная задача теплопроводности для полупространства с многослойным покрытием при циклическом изменении температуры внешней среды // Инж.-физ. журн. – 2020. – **93**, № 6. – С. 1543–1551.
 Те саме: Shevchuk V. A., Gavris' A. P. Nonstationary heat-conduction problem for a half-space with a multilayer coating upon cyclic change in the ambient temperature // J. Eng. Phys. Thermophys. – 2020. – **93**, No. 6. – P. 1489–1497. – <https://doi.org/10.1007/s10891-020-02254-w>.
 15. Шевчук В. А., Гаврисъ О. П. Термонапружений стан півпростору з багат шаровим покриттям за променево-конвективного теплообміну // Прикл. проблеми механіки і математики. – 2017. – Вип. 15. – С. 171–179.
 16. Adolfsson E., Steady-periodic thermal stresses in an infinite hollow compound cylinder // J. Therm. Stresses. – 2021. – **44**, No. 9. – P. 1150–1168.

- <https://doi.org/10.1080/01495739.2021.1945516>.
17. *Ansari R., Alisafaei F., Ghaedi P.* Dynamic analysis of multi-layered filament-wound composite pipes subjected to cyclic internal pressure and cyclic temperature // *Comput. Struct.* – 2010. – **92**, No. 5. – P. 1100–1109.
– <https://doi.org/10.1016/j.compstruct.2009.09.058>.
 18. *Apatay T., Eraslan A. N.* Analyses of elastic limit heat loads in thick walled tubes subjected to periodic surface temperatures: analytical treatment // *Arch. Mech.* – 2018. – **70**, No. 1. – P. 37–53.
 19. *Chen D., Crisci A., Boichot R., Colas J., Charpentier L., Balat-Pichelin M., Pons M., Merciere F.* Modeling multilayer coating systems in solar receivers // *Surf. Coat. Technol.* – 2020. – **399**. – Article 126102.
– <https://doi.org/10.1016/j.surfcoat.2020.126102>.
 20. *Eraslan A. N., Apatay T.* Thermoelastic stresses in a rod subjected to periodic boundary condition: an analytical treatment // *J. Multidiscip. Eng. Sci. Technol.* – 2015. – **2**, No. 9. – P. 2438–2444.
 21. *Fuad K., Daimaruya M., Kobayashi H.* Temperature and thermal stresses in a brake drum subjected to cyclic heating // *J. Therm. Stresses.* – 1994. – **17**, No. 4. – P. 515–527. – <https://doi.org/10.1080/01495739408946277>.
 22. *Hawa H.A.E., Bhattacharyya A., Maurice D.* Modeling of thermal and lattice misfit stresses within a thermal barrier coating // *Mech. Mater.* – 2018. – **122**. – P. 159–170. – <https://doi.org/10.1016/j.mechmat.2018.03.009>.
 23. *Hendricks R. C., McDonald G., Mullen R. L., Braun M. J., Chung B. T., Padovan J.* Thermomechanical loading of multilayered cylindrical geometries in thermal cycling from 300 to 1300 K // *ASME/JSME Thermal Engineering Joint Conference, Honolulu, HI, March, 20–24, 1983 / Y. Mori M. J. Tang (Eds.)*. – New York: ASME, 1983. – Vol. 3. – P. 329–340.
 24. *Humfeld G. R. (Jr.)* Mechanical behavior of adhesive joint subjected to thermal cycling: Thesis for Master of Science in Engineering Mechanics. – Virginia Polytechnic Institute. – Blackburg, 1997. – 81 p.
 25. *Kaya Y., Eraslan A. N.* Thermo-elastoplastic solutions of a thick-walled tube with fixed ends subjected to a temperature cycle from its inner surface // *Sigma J. Eng. Nat. Sci.* – 2018. – **9**, No. 2. – P. 203–212.
 26. *Li B., Fan X., Zhou K., Wang T.* A semi-analytical model for predicting stress evolution in multilayer coating systems during thermal cycling // *Int. J. Mech. Sci.* – 2018. – **135**. – P. 31–42. – <https://doi.org/10.1016/j.ijmecsci.2017.11.010>.
 27. *Mahmoudi H., Atefi G.* Analytical solution for thermal stresses in a hollow cylinder under periodic thermal loading // *J. Mech. Eng. Sci.* – 2012. – **226**, No. 7. – P. 1705–1724. – <https://doi.org/10.1177/0954406211429757>.
 28. *Mao W. G., Zhou Y. C., Yang L., Yu X. H.* Modeling of residual stresses variation with thermal cycling in thermal barrier coatings // *Mech. Mater.* – 2006. – **38**, No. 12. – P. 1118–1127. – <https://doi.org/10.1016/j.mechmat.2006.01.002>.
 29. *Noda N.-A., Uchicoba T., Ueno M., Sano Y., Iida K., Wang Z., Wang G.* Convenient debonding strength evaluation for spray coating based on intensity of singular stress // *ISIJ Int.* – 2015. – **55**, No. 12. – P. 2624–2630.
– <https://doi.org/10.2355/isijinternational.ISIJINT-2015-458>.
 30. *Radu V., Taylor N., Paffumi E.* Development of new analytical solutions for elastic thermal stress components in a hollow cylinder under sinusoidal transient thermal loading // *Int. J. Press. Vessels Pip.* – 2008. – **85**, No. 12. – P. 885–893.
– <https://doi.org/10.1016/j.ijpvp.2008.04.010>.
 31. *Shen Y.-L., Suresh S.* Elastoplastic deformation of multilayered materials during thermal cycling // *J. Mater. Res.* – 1995. – **10**, No. 5. – P. 1200–1215.
– <https://doi.org/10.1557/JMR.1995.1200>.
 32. *Shevchuk V. A.* Calculation of thermal state of bodies with multilayer coatings // *Lect. Notes in Comput. Sci. / Computational Science – ICCS 2002. ICCS 2002 / (P. M. A. Sloot, A. G. Hoekstra, C. J. K. Tan, J. J. Dongarra (Eds.))*. – Berlin, Heidelberg: Springer-Verlag, 2002. – **2330**. – P. 500–509.
– https://doi.org/10.1007/3-540-46080-2_52.
 33. *Shevchuk V. A.* Generalized boundary conditions to solving thermal stress problems for bodies with thin coatings // In: *Encyclopedia of Thermal Stresses / Ed. R. B. Hetnarski*. – Dordrecht etc.: Springer, 2014. – Vol. 4. – P. 1942–1953.
– https://doi.org/10.1007/978-94-007-2739-7_601.
 34. *Srivathsa B., Das D. K.* Parametric studies of failure mechanisms in thermal barrier coatings during thermal cycling using FEM // *Int. J. Appl. Mech. Eng.* –

2015. – **20**, No. 4. – P. 899–915. – <https://doi.org/10.1515/ijame-2015-0058>.
35. *Teixeira V., Andritschky M., Fisher W., Buchkremer H. P., Stover D.* Effect of deposition temperature and thermal cycling on residual stress state in zirconia-based thermal barrier coatings // *Surf. Coat. Technol.* – 1999. – **120-121**. – P. 103–111. – [https://doi.org/10.1016/S0257-8972\(99\)00341-2](https://doi.org/10.1016/S0257-8972(99)00341-2).
36. *Zheng X., Chen H., Ma Z.* Shakedown boundaries of multilayered thermal barrier systems considering interface imperfections // *Int. J. Mech. Sci.* – 2018. – **144**, P. 33–40. – <https://doi.org/10.1016/j.ijmeosci.2018.05.016>.

THE INVESTIGATION OF THERMAL STRESS STATE OF A HALF-SPACE WITH A MULTILAYER COATING UNDER CYCLIC CONVECTIVE HEAT EXCHANGE WITH THE AMBIENT MEDIUM

With the use of the obtained analytical solution of the thermoelasticity problem for a half-space with a multilayer coating under cyclic piecewise-uniform variation of the ambient temperature, the influence of thermocyclic loading on thermal stress state of such a system is investigated.

Key words: *heat conduction, thermoelasticity, half-space, multilayer coating, generalized boundary conditions, thermal cycling.*

Ин-т прикл. проблем механіки і математики
ім. Я. С. Підстригача НАН України, Львів

Одержано
10.10.22